

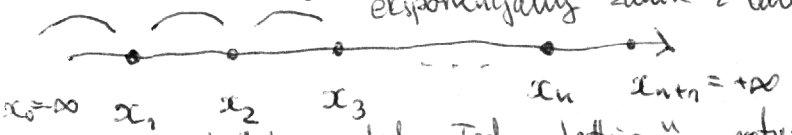
"O potokach diagonalizujących macierze"  
 (Tomasz Tkacz, "Wisielka 2011")

Celem tego referatu jest przedstawienie metody diagonalizacji macierzy symetrycznych za pomocą potoku. Zrobimy to na dwóch przykładach.

Pierwszy z nich ma interesującą motywację fizyczną. Rozważmy  $n$  cząstek umieszczonych na prostej w punktach  $x_1, \dots, x_n$ . Hamiltonian układu ma postać

$$H = \sum_{k=1}^n \frac{1}{2} (\dot{x}_k)^2 + \sum_{k=1}^{n-1} e^{x_k - x_{k+1}}$$

działanie ekspozycyjne sąsiad-sąsiad zanik z odległością



Rys. "Truncated Toda lattice" - natura oddziaływania jest bilardowa

Ustalamy warunki początkowe ( $x_k(0) = \dots, \dot{x}_k(0) = \dots$ ) i oczywiście pytamy jaka będzie ewolucja układu. W szczególności interesuje nas zachowanie się układu w nieskończoności  $t \rightarrow \infty$ . Może istnieje jakiś stan stacjonarny?

Intuicja fizyczna jest taka, że nasz układ dąży przy  $t \rightarrow \infty$  do minimalizacji energii oddziaływania  $V$  ( $H = const$ ).

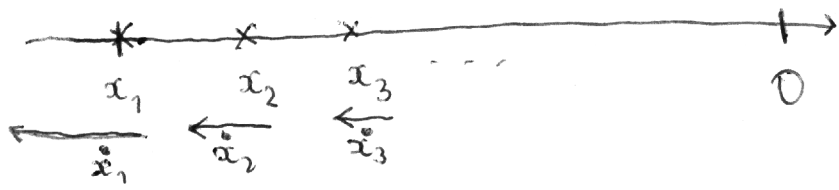
$V \rightarrow 0$   
 Ma to miejsce, gdy

$x_k - x_{k+1} \rightarrow -\infty,$

czyli np. gdy

$\dot{x}_k \rightarrow u_k,$

$|u_1| > |u_2| > \dots > |u_n|,$   
 $u_k < 0$



(jest dryf-potok w lewo z oddalaniem się cząstek)

Spróbujmy teraz uściślić tę heurystykę. Mając hamiltonian

wypisujemy równania ruchu

$$(*) \quad \begin{cases} \ddot{x}_1 = -e^{x_1 - x_2} \\ \ddot{x}_k = -\frac{\partial V}{\partial x_k} = -e^{x_k - x_{k+1}} + e^{x_{k-1} - x_k} \\ \ddot{x}_n = e^{x_{n-1} - x_n} \end{cases}$$





(1) (energia  $H$  jest stała)

$$\begin{aligned} H &= \sum \frac{1}{2} (\dot{x}_k)^2 + \sum e^{(x_k - x_{k,n})/2} \\ &= 2 \sum a_k^2 + 4 \sum b_k^2 = 2 (\sum a_k^2 + 2 \sum b_k^2) \\ &= 2 \|L\|^2 = 2 \operatorname{tr} L^T L. \end{aligned}$$

Ale

$$\begin{aligned} (\operatorname{tr} L^T L)' &= 2 \operatorname{tr} L^T L' = 2 \operatorname{tr} \underbrace{L^T}_{L} (BL - LB) \\ &= 2 \operatorname{tr} (LBL - \underbrace{LLB}_B) = 0. \quad \square \end{aligned}$$

(2) (istnieje  $n$  catek pierwotnych  $\lambda_1 = \dots = \lambda_n = 0$ )

Istotnie, pokazujemy że potok  $\dot{L} = [B, L]$  jest izospektralny, tzn. zachowuje spektrum macierzy  $L_0$ .  
Aby to udowodnić rozważmy rozwiązanie zagadnienia Cauchy'ego

$$\begin{cases} \dot{V} = BV \\ V(0) = I \end{cases}$$

Ewolucje ono w macierzach ortogonalnych  $O(n)$ , bo

$$\begin{aligned} (\dot{V}^T V)' &= \dot{V}^T V + V^T \dot{V} = V^T \underbrace{B^T}_{-B} V + V^T B V \\ &= 0. \end{aligned}$$

Niech  $L_0 := L(0)$ . Zauważmy, że

$$\begin{aligned} (V L_0 V^T)' &= \dot{V} L_0 V^T + V L_0 \dot{V}^T = B V L_0 V^T + V L_0 V^T B \\ &= B (V L_0 V^T) - (V L_0 V^T) B \\ &= [B, V L_0 V^T], \end{aligned}$$

więc z jednorodności potoku

$$L(t) = V L_0 V^T;$$

w szczególności

$$\begin{aligned} \operatorname{Spec}(L(t)) &= \operatorname{Spec}(L(0)) \quad \square \\ &= \{\lambda_1, \dots, \lambda_n\} \\ &\quad \uparrow \quad \uparrow \\ &\quad \text{całki pierwsze} \end{aligned}$$

(3) Jest zbieżność do stanu stacjonarnego - macierzy diagonalnej

$$L(t) \xrightarrow[t \rightarrow \infty]{\|\cdot\|} \text{diag}(\lambda_1, \dots, \lambda_n)$$

Jak już wiemy, wystarczy uzasadnić, że

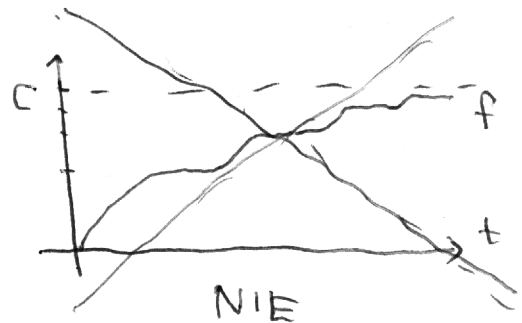
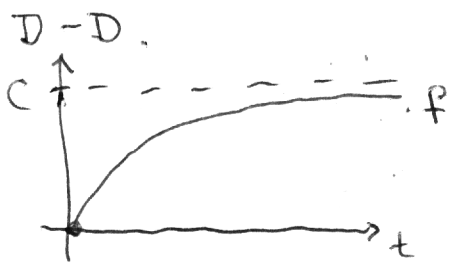
$$\forall k \quad b_k(t) \xrightarrow[t \rightarrow \infty]{} 0$$

Zauważmy, że

$$\underbrace{(a_1 + \dots + a_k)}_{S_k} = 2b_k(t)^2$$

Wobec (1),  $S_k, \dot{S}_k, \ddot{S}_k = 4b_k \dot{b}_k = 4b_k^2(a_k + a_k)$  są ograniczone. Ponadto  $\dot{S}_k \geq 0$ . Teraz  $\text{☺}$  wynika z lematu.

LEMAT. Niech  $f: [0, \infty) \xrightarrow{C^2} [0, C]$  ma ograniczone pochodne  $f', f''$ . Jeśli  $f' \geq 0$ , to  $f' \xrightarrow[t \rightarrow \infty]{} 0$ .



Przypuśćmy przeciwnie, że istnieje  $\varepsilon > 0$  i  $t_n \rightarrow \infty$ , że

$$f'(t_n) > \varepsilon$$

Z jednostajnej ciągłości  $f'$  (wzrost  $|f''| \leq M$ ) istnieje  $\delta$ , że

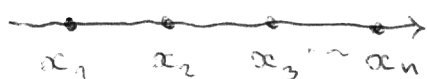
$$f'(t) > \varepsilon/2, \quad |t - t_n| < \delta$$

Ustalmy  $N$  i wycałkujemy tę nierówność po ubiorze  $\bigcup_{n=1}^N (t_n - \delta, t_n + \delta)$

$$N \varepsilon \delta < \underbrace{f(t_N + \delta) - f(t_N - \delta)}_{\leq 0} + \underbrace{f(t_{N-1} + \delta) - f(t_{N-1} - \delta)}_{\leq 0} + \dots - f(t_1 - \delta) < f(t_N + \delta) - f(t_1 - \delta)$$

i gdy  $N \rightarrow \infty$  mamy sprzeczność  $\geq f \leq C$ .  $\square$

Podsumujmy to, co tu się stało.



analiza wężów  
n cząstek "kraty Todey"



potok w trójdiagonalnych  
macierzach symetrycznych

$$\dot{L} = [B(L), L]$$

para Laxa

$$H = 2 \|L\|^2 \approx \sum_{\text{prędkości}} a_k^2 + \sum_{\text{oddziaływanie}} b_k^2$$

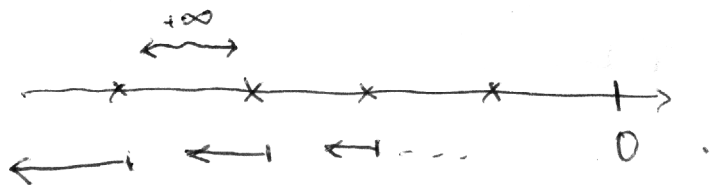
Pokażemy, że

$$\begin{bmatrix} \dot{a} & b \\ a & \dot{b} \end{bmatrix} = L(t) \longrightarrow \text{diag,}$$

czyli  $\sum b_k^2 \longrightarrow 0$  (oddziaływanie zanika)

$-\frac{1}{2} \dot{x}_k = a_k \longrightarrow \lambda_k$  (prędkości się ustalają)

Jeśli więc ustalimy wartości początkowe tak, aby  $\lambda_1 > \dots > \lambda_n > 0$ , będziemy mieli dyfuzję w lewo dzięki warstwie eksponencyjnego oddziaływania bitardowego (sąsiad-sąsiad).



Na koniec można zapytać, czy podobnie nie udałoby się zdiagnozować dowolnej macierzy symetrycznej, niekoniecznie trójdiagonalnej. Numeryk odpowiedziałby, że tak. Sprobać dowolną macierz symetryczną do trójdiagonalnej, potem odpalić omawiany potok i po ktopocie. My postąpimy inaczej.

Równamy potok

$$\begin{cases} \dot{L} = [L, [L, D]] \\ L(0) = L_0 \end{cases} \in M_{\text{Sym}}^{n \times n}(\mathbb{R}),$$

gdzie  $D$  jest ustalona, niezależna od czasu macierzą diagonalną, a wyrazach parami różnych. (Ten potok jest „stopnia” 3 a poprzednio mieliśmy zależność kwadratową. Pochodzi on z pracy Brocketta, [Br 91], gdzie omówiono szereg jego zastosowań – oprócz diagonalizacji, może on sortować listy albo optymalizacji pewne zadania programowania liniowego).

Dlaczego on działa? Rozumujemy identycznie jak poprzednio.



(1)  $\|L\|^2 = \text{const}$ ,  
bo nie linij  $(\text{tr } L L^T)^{\circ} = 0$

(pamiętaj, że potok płynie w macierzach symetrycznych, co wynika z (2))

(2) spektrum jest zachowane,  
bo się skręca macierz diagonalizującą,

$$\begin{cases} \dot{V} = V [V^T L_0 V, D] \\ V(0) = I \end{cases}$$

i sprawdza

• ortogonalność  $(V V^T)^{\circ} = 0$

•  $L := V^T L_0 V$  spełnia  $\dot{L} = [L, [L, D]]$ .

$$(3) \quad L \xrightarrow[t \rightarrow \infty]{\|\cdot\|} \text{diag},$$

co skutkuje tutaj jest równanie, że

$$(\text{tr } LD)^0 = \| [L, D] \|^2 = \sum_{i \neq j} L_{ij}^2 (\lambda_i - \lambda_j)^2,$$

rozszyjąc więc temat do funkcji:  $f(t) = \text{tr } LD$  mamy, że jej pochodna,  $\text{tr} \cdot \| [L, D] \|^2$  dąży do 0, co oznacza, że wyrazy niediagonalne  $L$  zbiegają do 0.  $\square$

Dalej można by się zastanawiać nad tempem zbieżności  $L$  do macierzy diagonalnej. W pracy [DNT83] dla poprzedniego potoku

$$\dot{L} = [B, L]$$

podano oszacowania

$$|a_k(t) - \lambda_k| \leq c e^{-2\mu t},$$

$$|b_{kl}(t)|^2 \leq c e^{-2\mu t},$$

$$c = c(L(0)),$$

$$\mu = \min_{k=1, \dots, n-1} \{ \lambda_k - \lambda_{k+1} \}.$$

Te nierówności, jak i dla potoku jednak temat na inną historię.

$$\dot{L} = [L, [L, D]] \text{ to}$$

## LITERATURA

- [Br91] R.W. Brockett, "Dynamical Systems That Sort Lists, Diagonalize Matrices, and Solve Linear Programming Problems", *Linear Algebra and Its Applications* 146 (1991), 79-91.
- [DNT83] P. Deift, T. Nanda, C. Tomei, "Ordinary Differential Equations and the Symmetric Eigenvalue Problem", *SIAM J. Numer. Anal.*, 20 (1983), 1-22.
- [Fl74] H. Flaschka, "The Toda lattice, I", *Phys. Rev. B*, 9 (1974), 1924-1925.
- [Mo75] J. Moser, "Finitely Many Mass Points on the Line Under the Influence of an Exponential Potential - An Integrable System", in *Dynamical Systems Theory and Applications*, New York - Berlin - Heidelberg, 1975, 467-497.

PODZIĘKOWANIA dla Arkadiusza Trańskiego za wprowadzenie mnie w tą tematykę.